



Q79819  
10/774,624 Filed: February 10, 2004  
Darryl Mexic (202) 293-7060  
Soichiro KATO, et al.  
SEPARATOR, LINEAR GUIDE USING THE  
SEPARATION AND LINEAR MOTION  
APPARATUS

1/34

FIG. 1

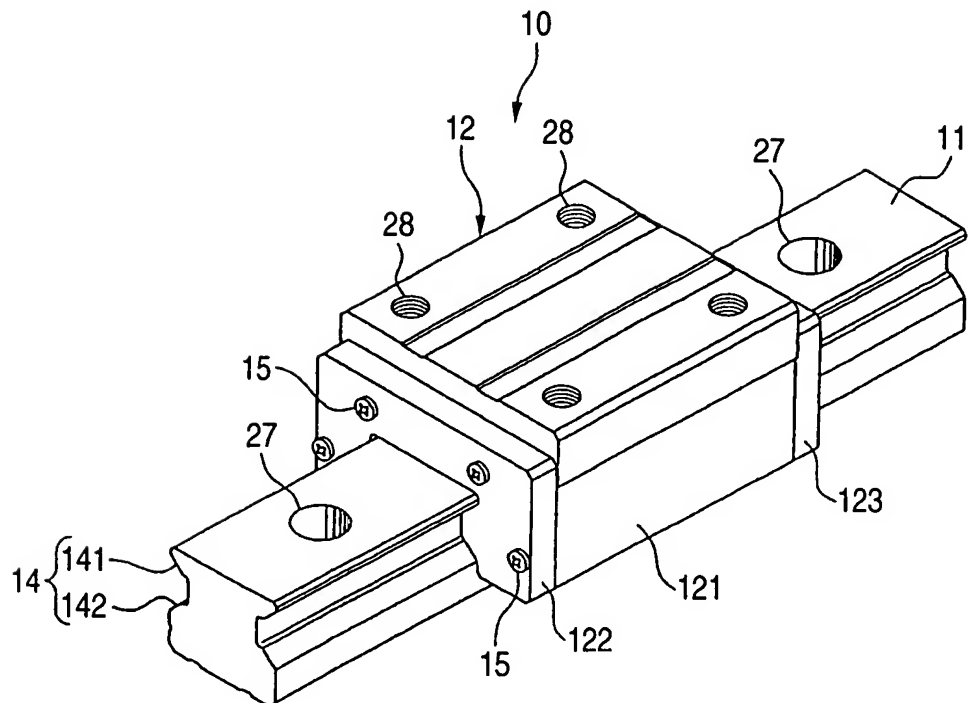


FIG. 2

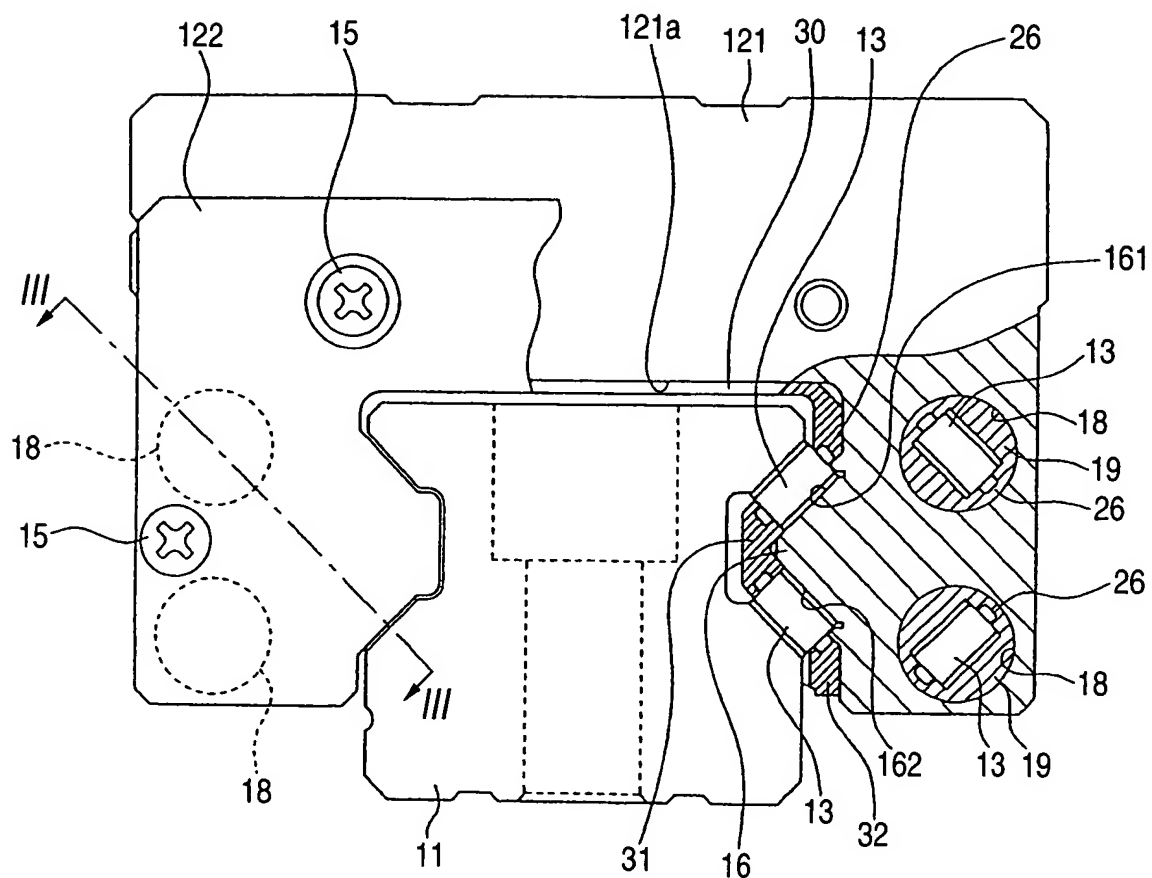
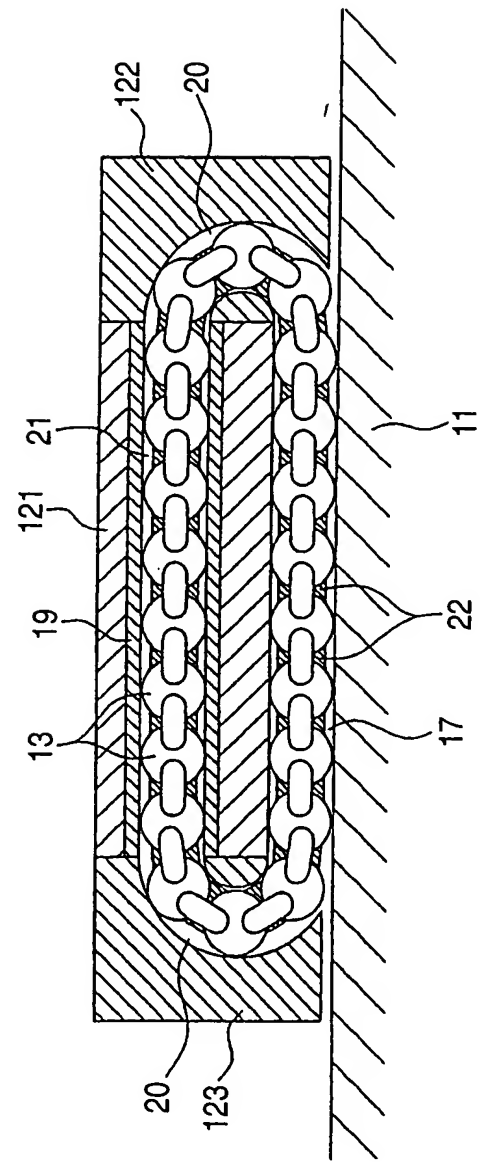


FIG. 3



4/34

FIG. 4

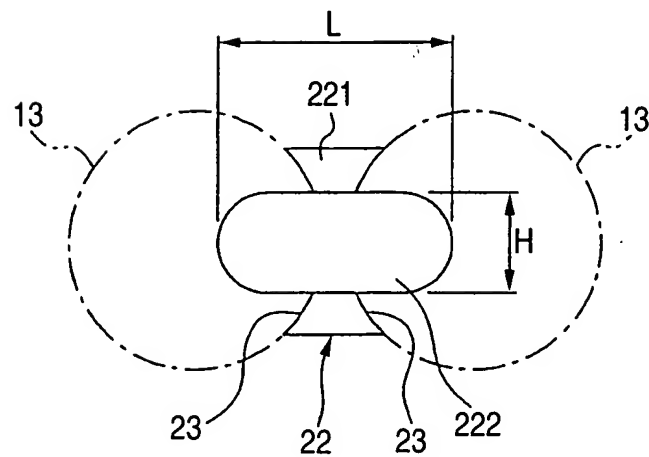


FIG. 5

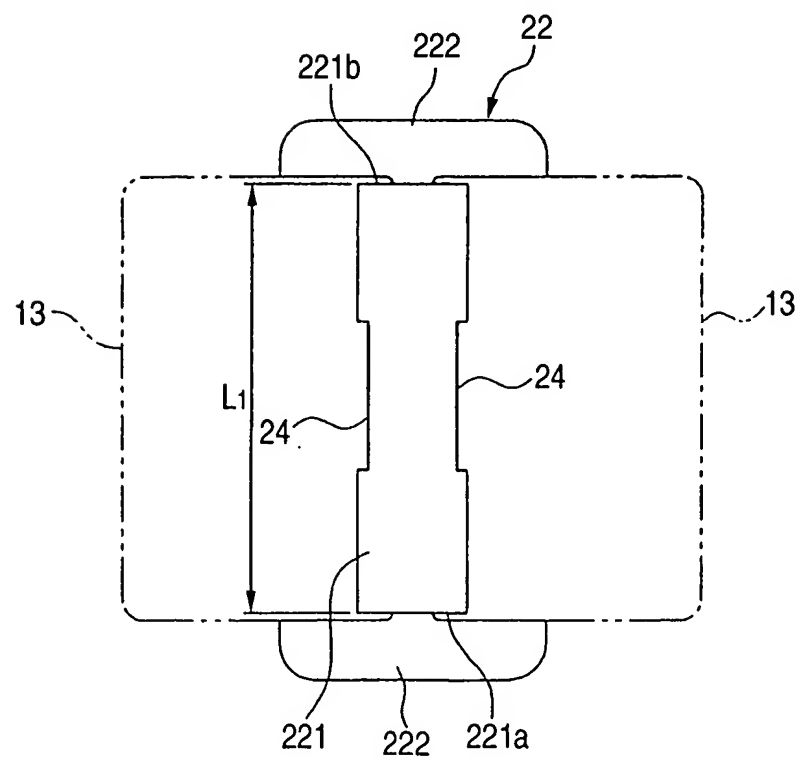


FIG. 6

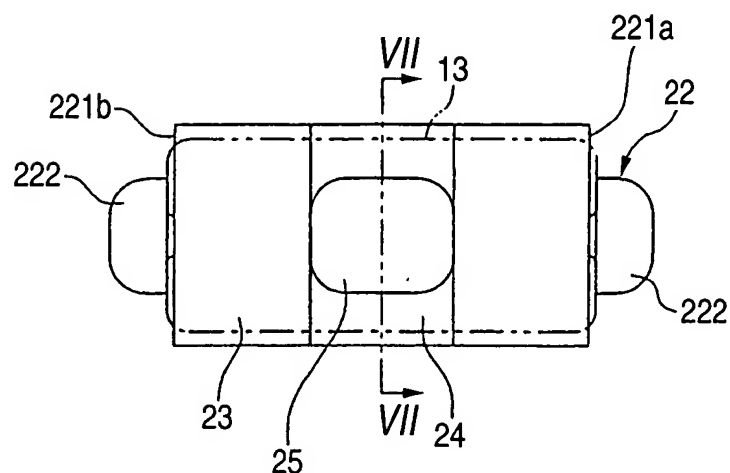


FIG. 7

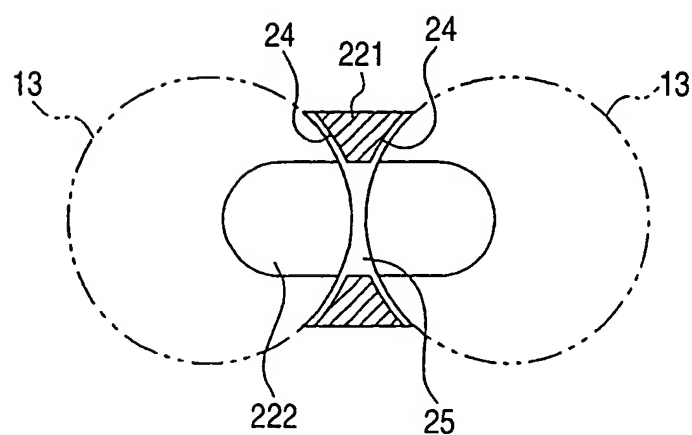


FIG. 8

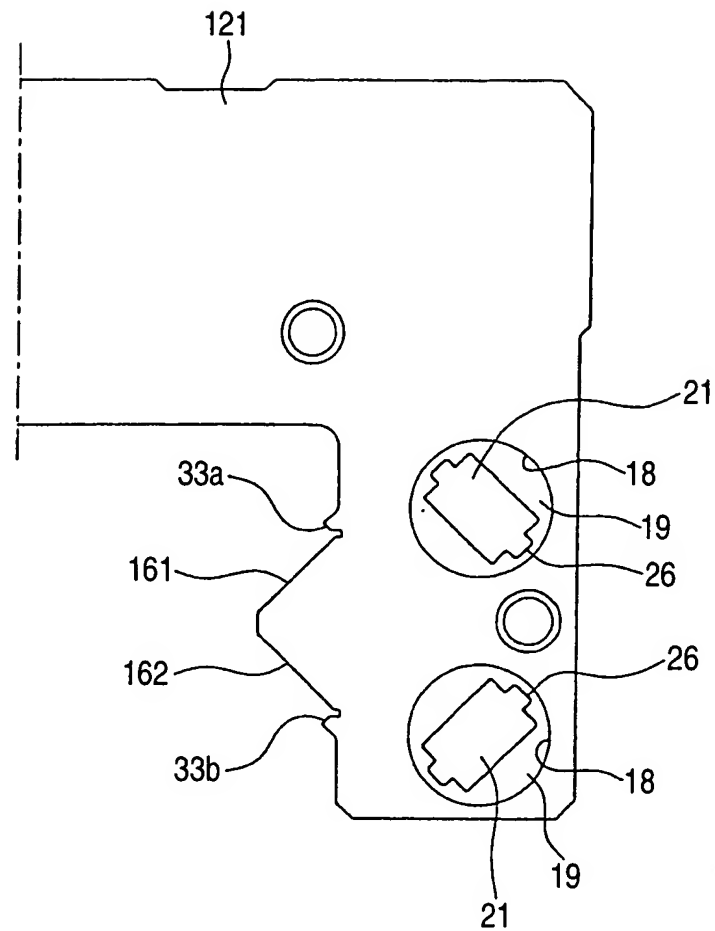


FIG. 9

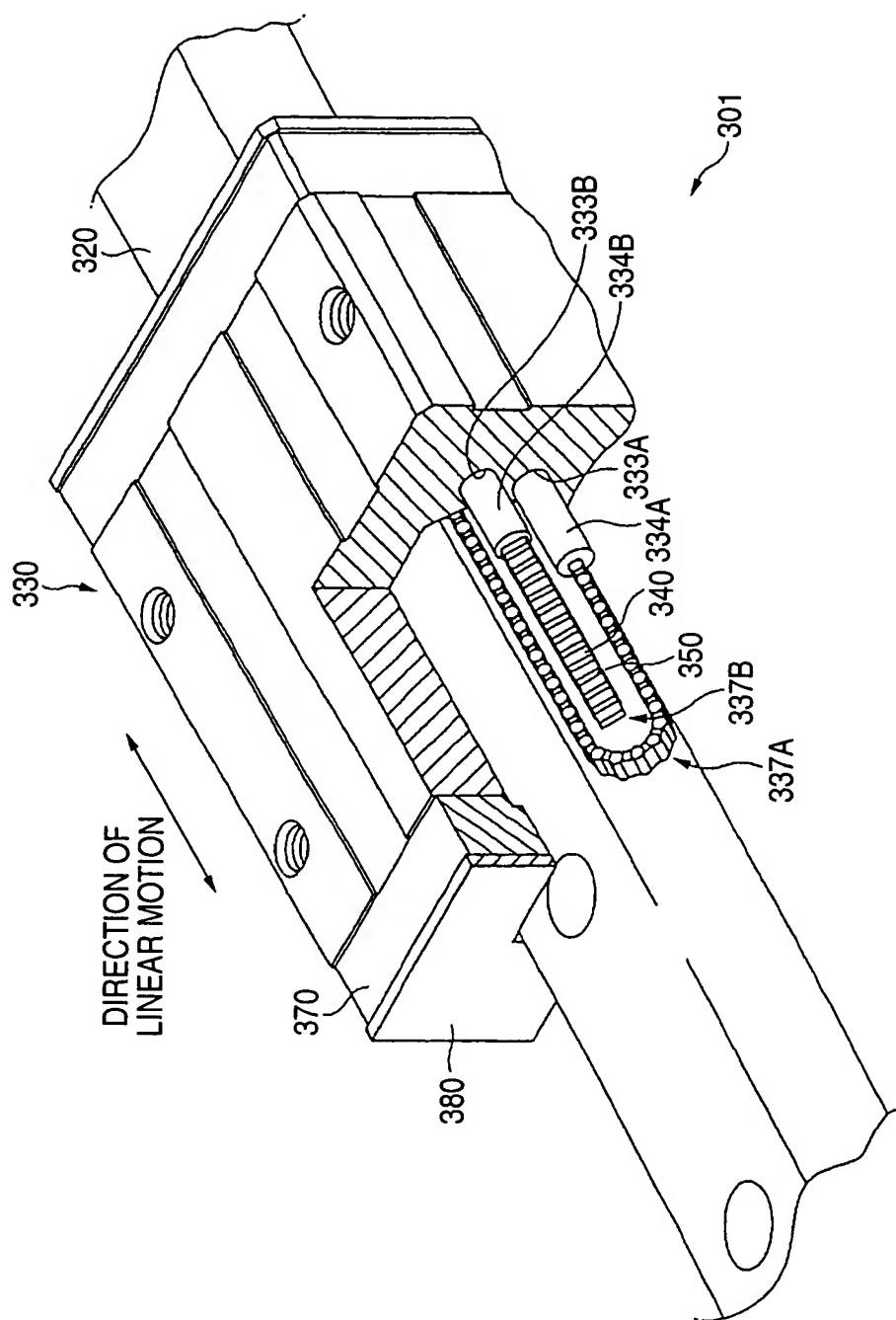
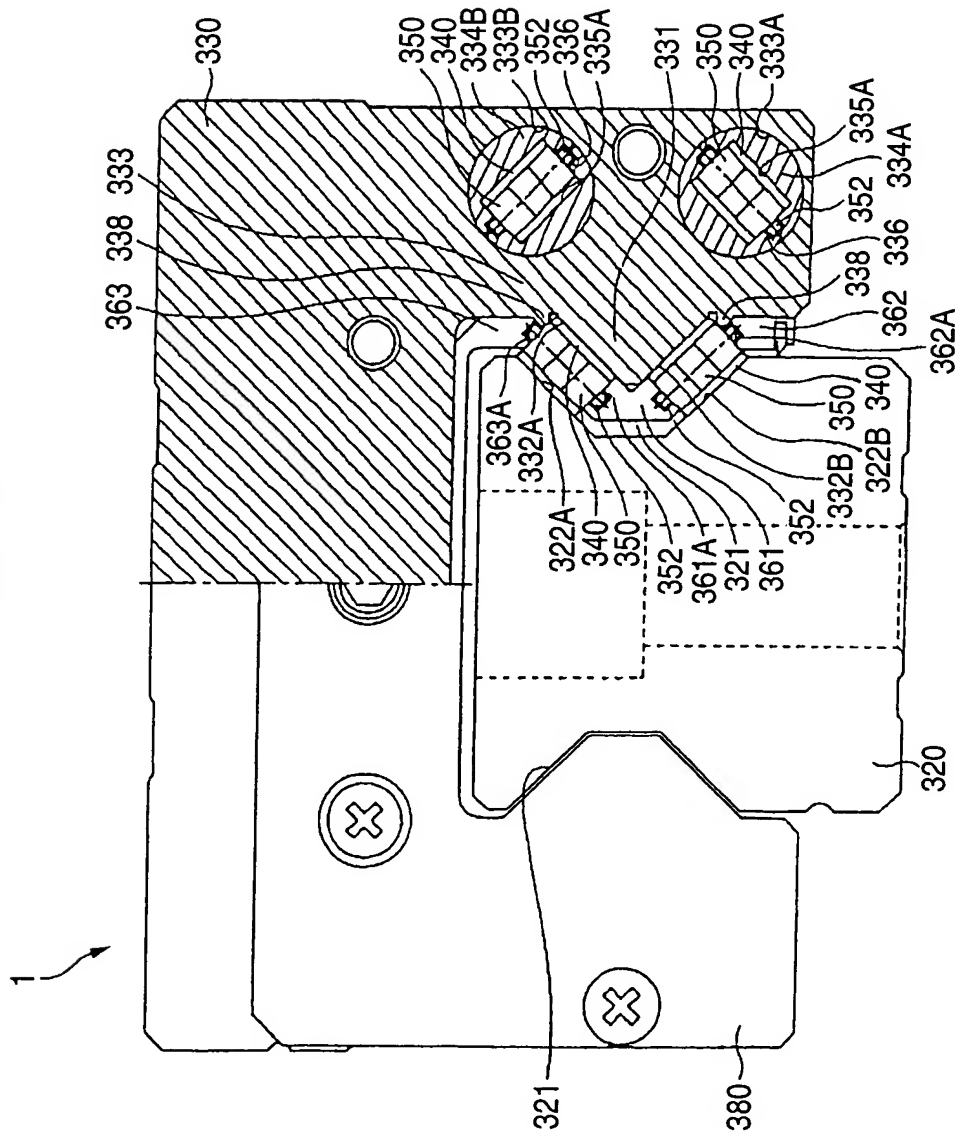


FIG. 10



9/34

FIG. 11

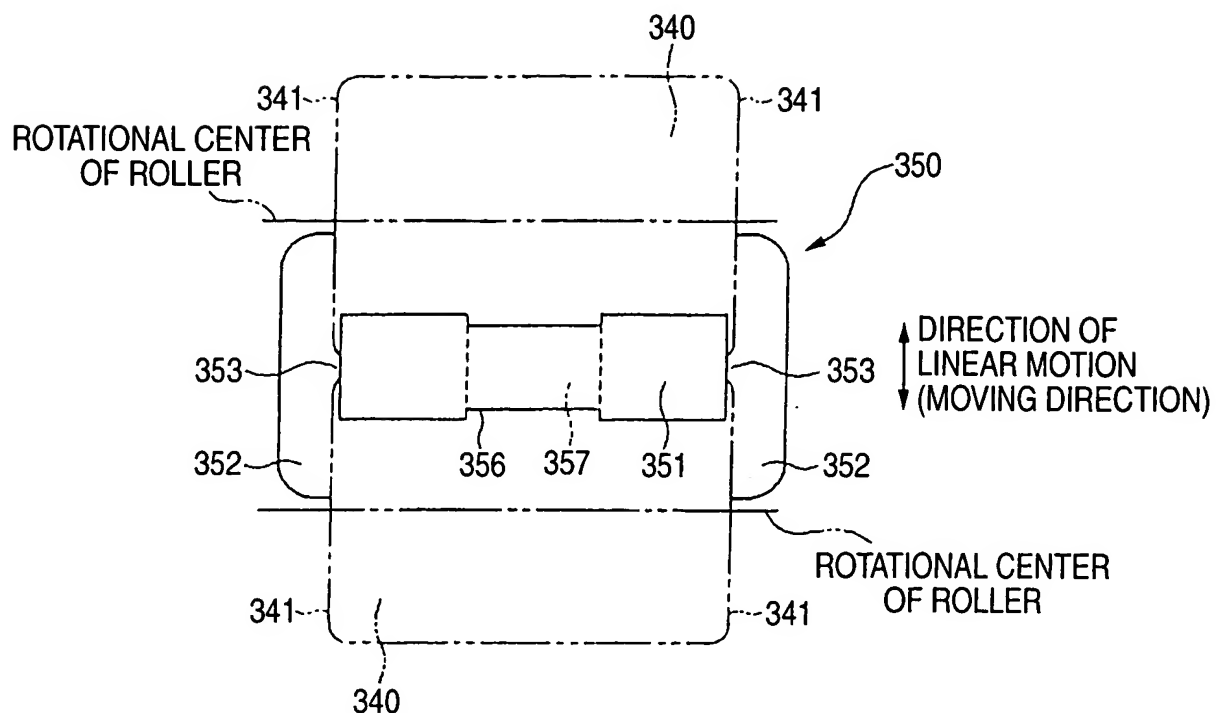
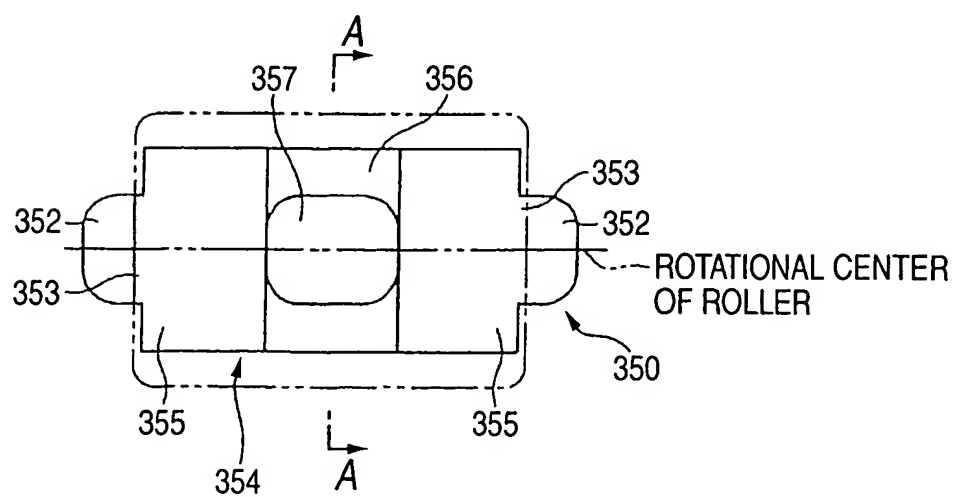


FIG. 12



10/34

FIG. 13

A-A

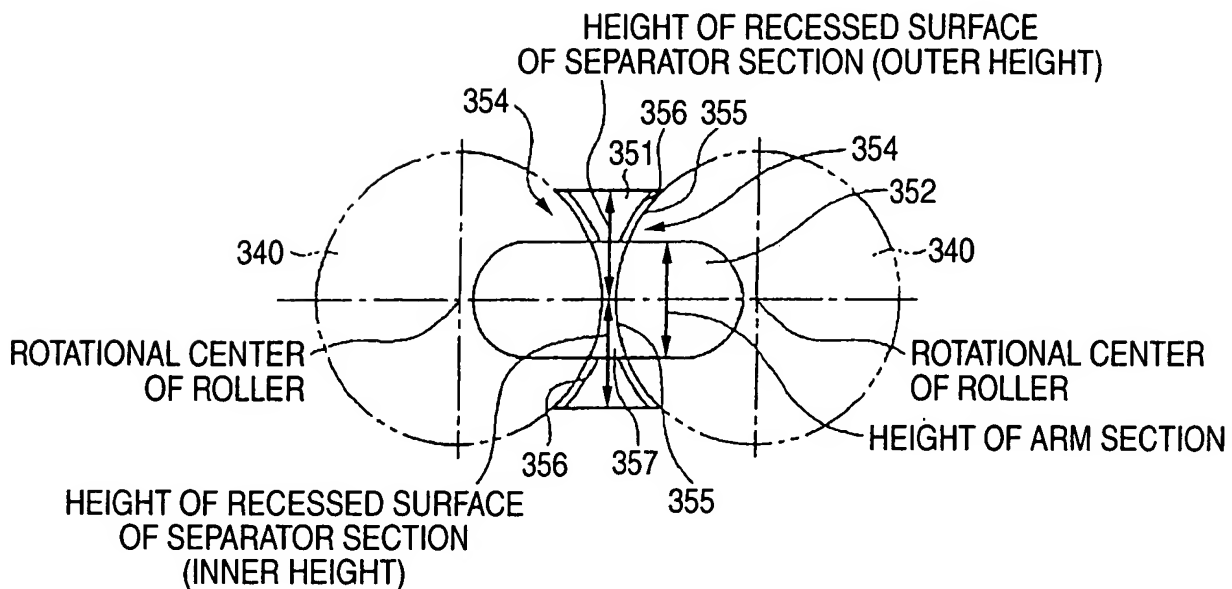


FIG. 14

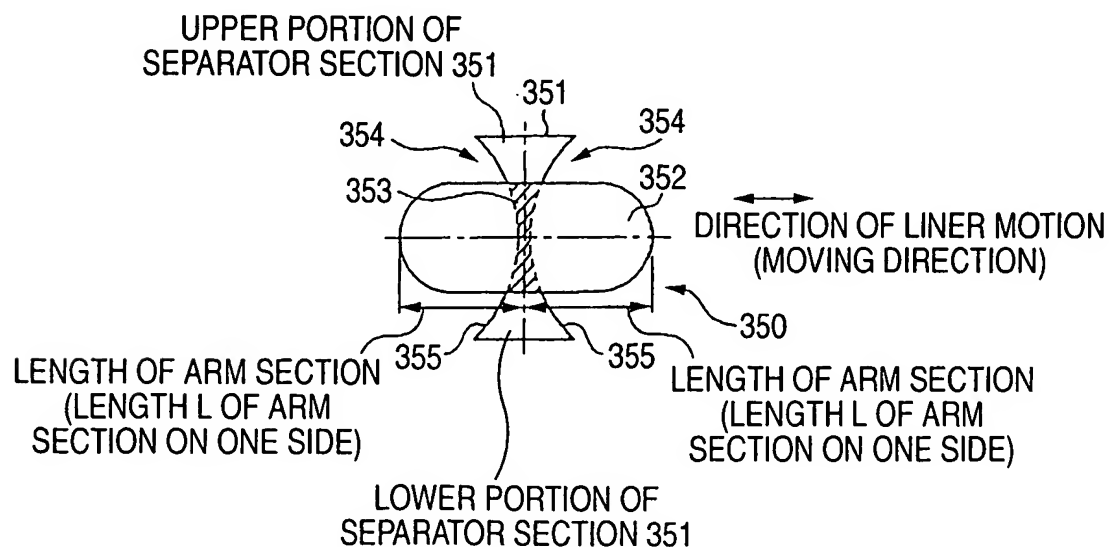


FIG. 15

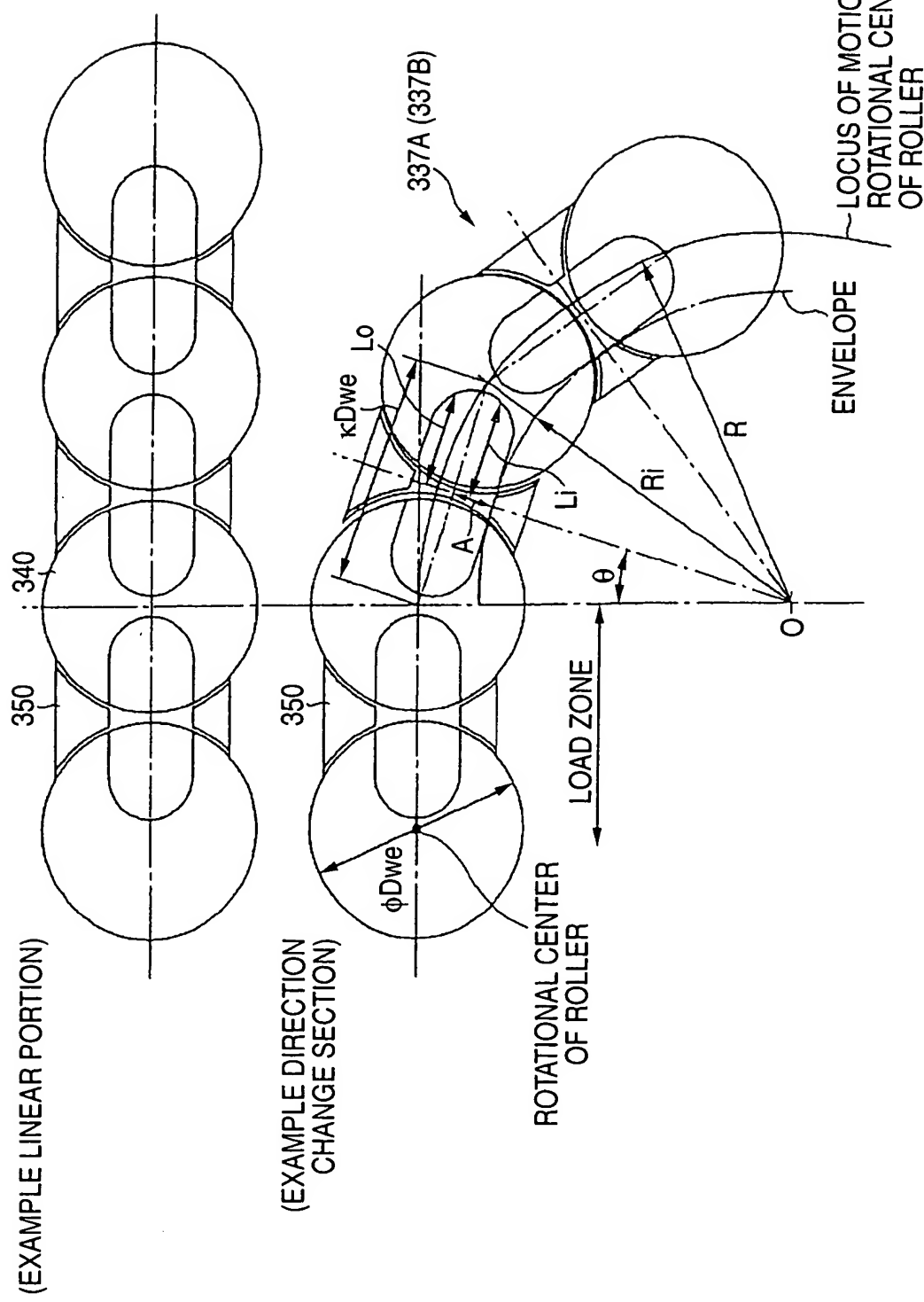


FIG. 16

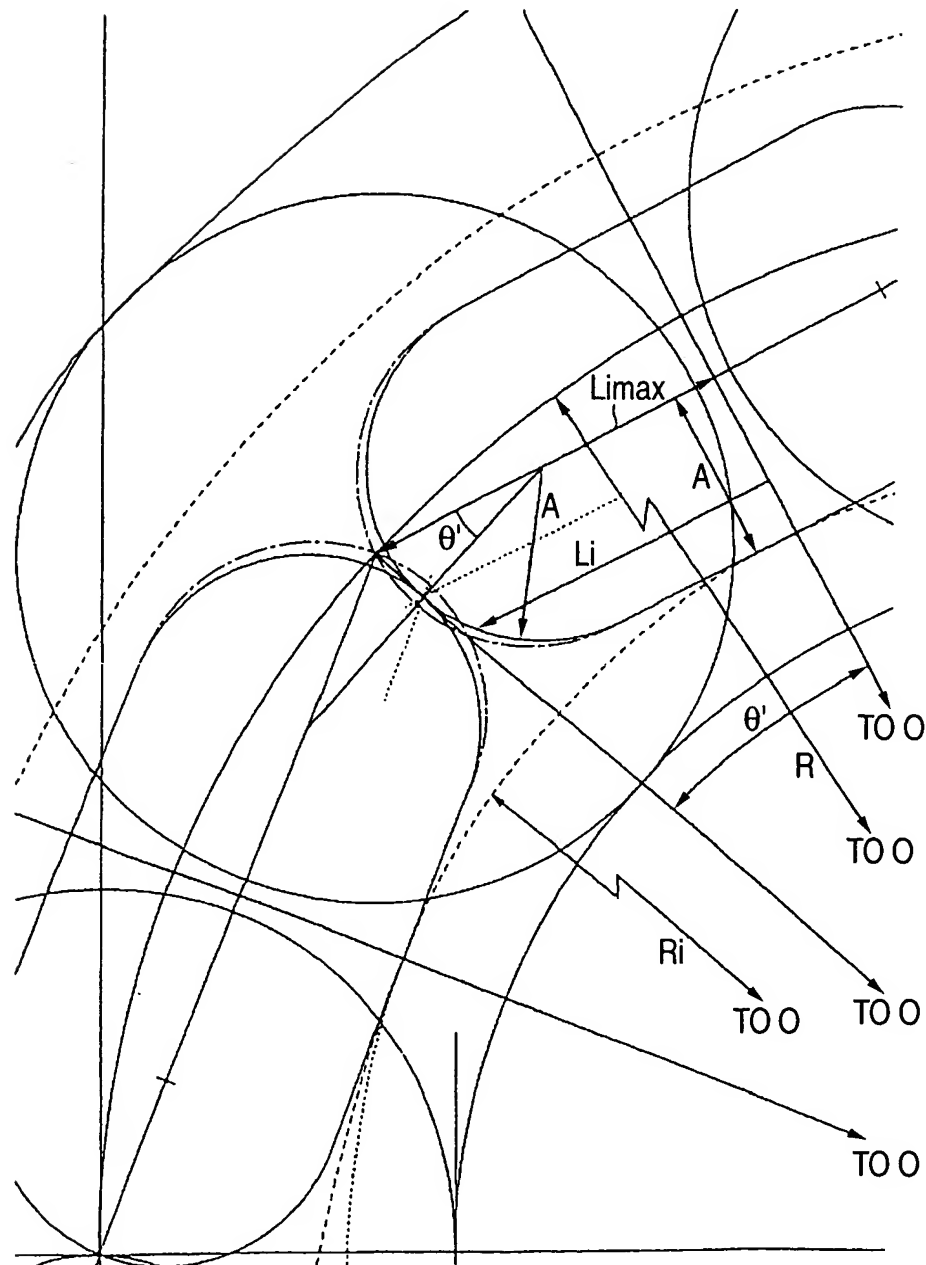


FIG. 17

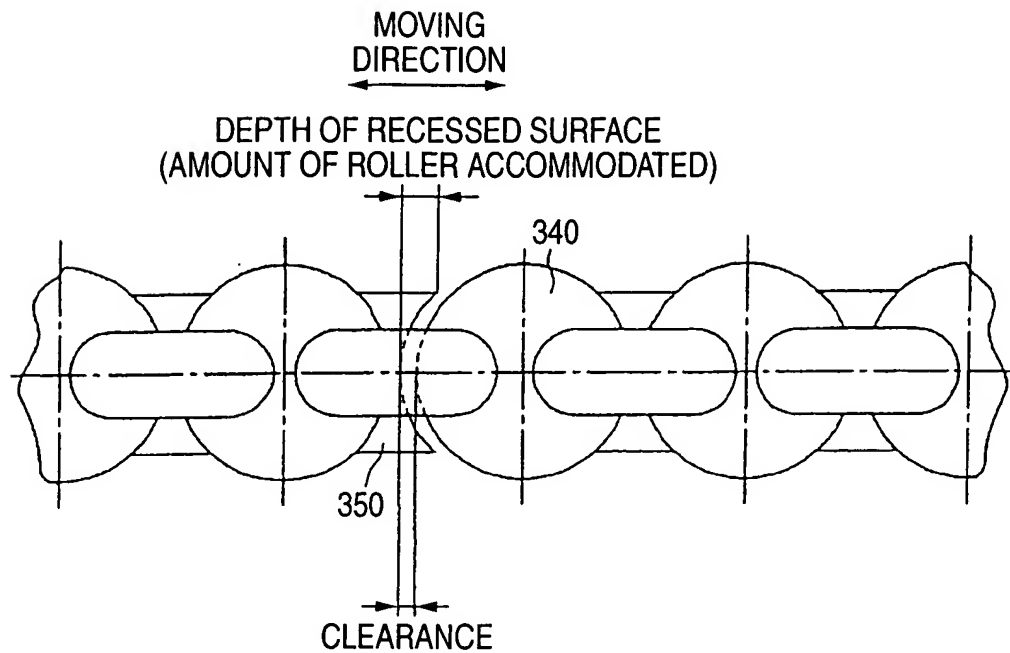


FIG. 18

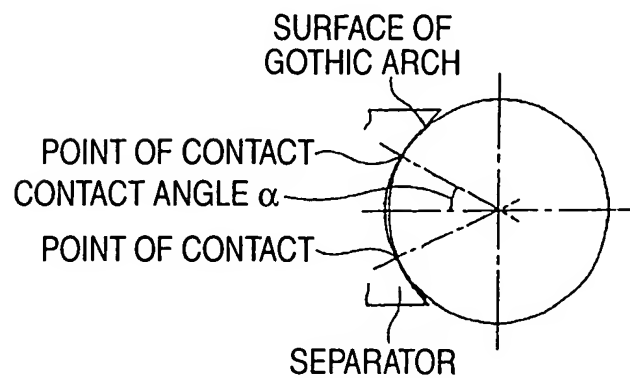


FIG. 19

(EXAMPLE LINEAR PORTION)

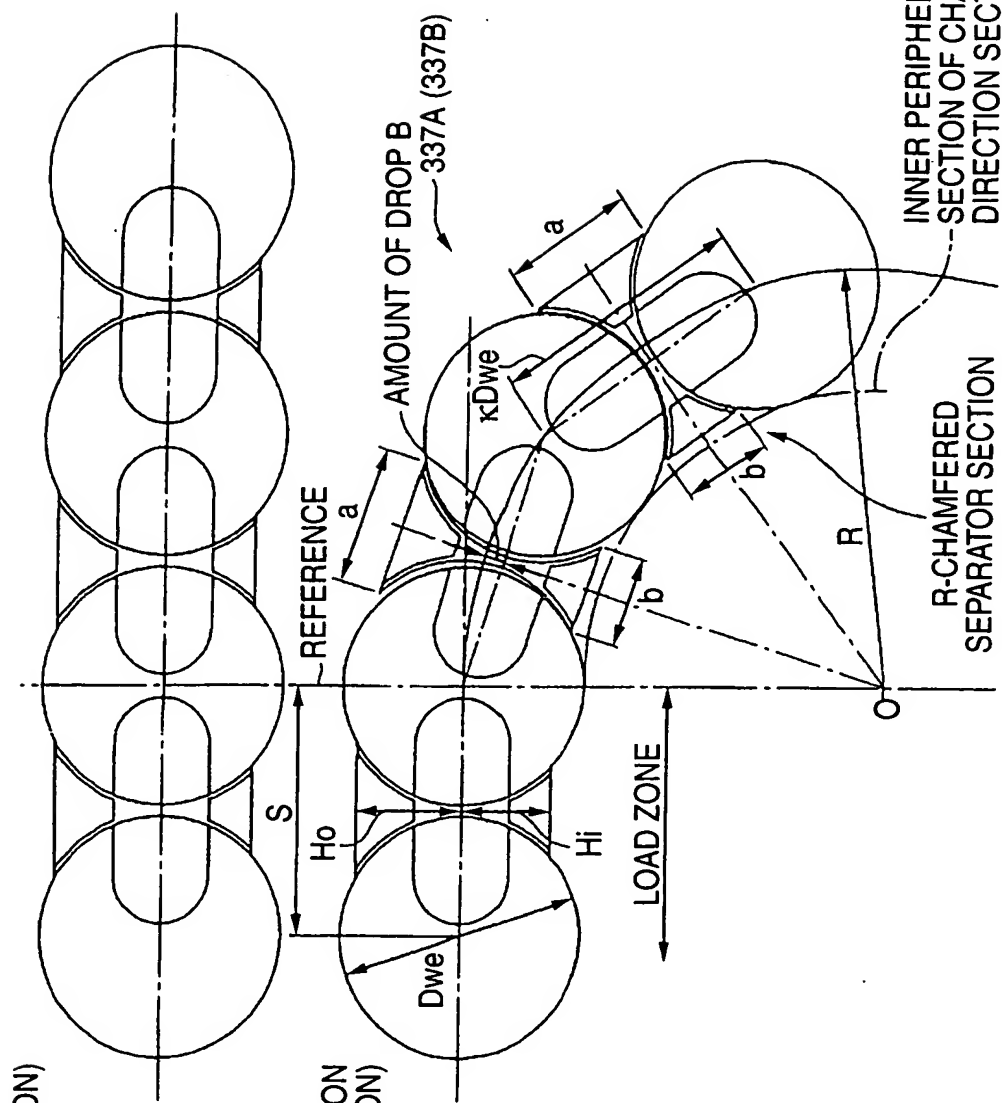


FIG. 20

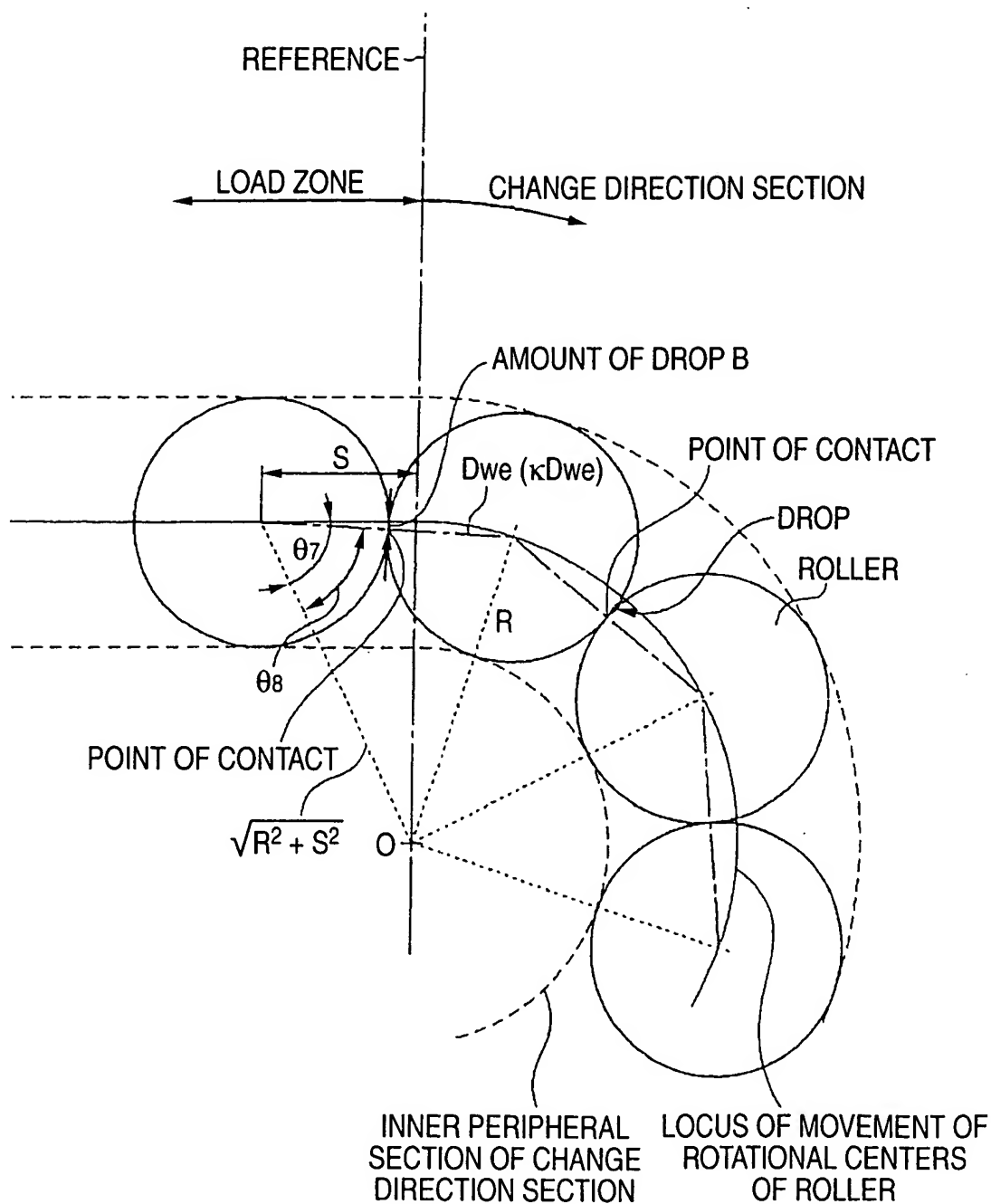
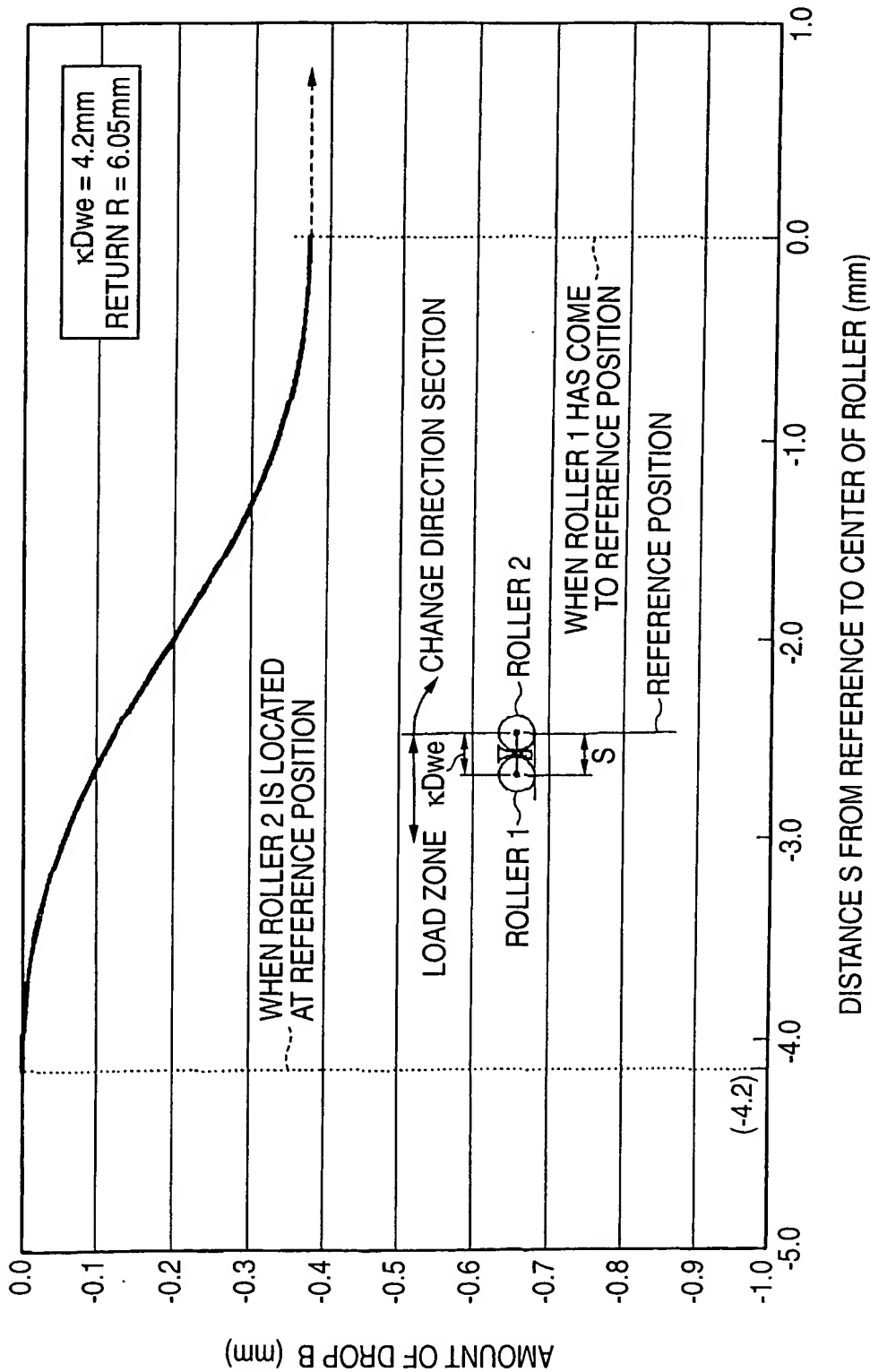


FIG. 21



17/34

FIG. 22

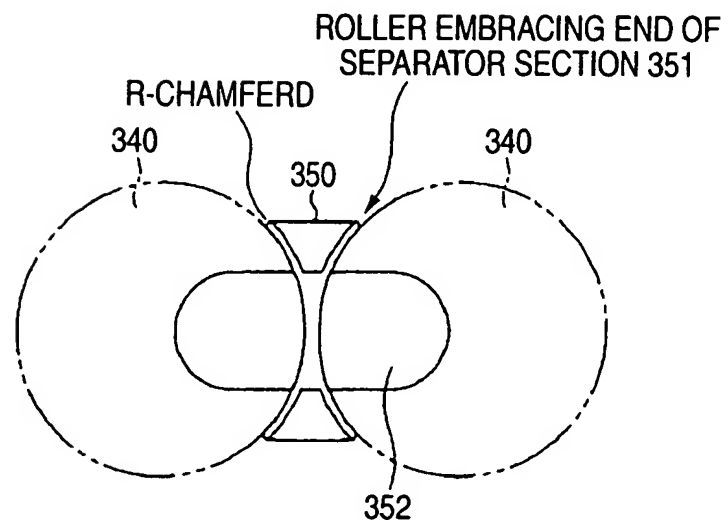


FIG. 23

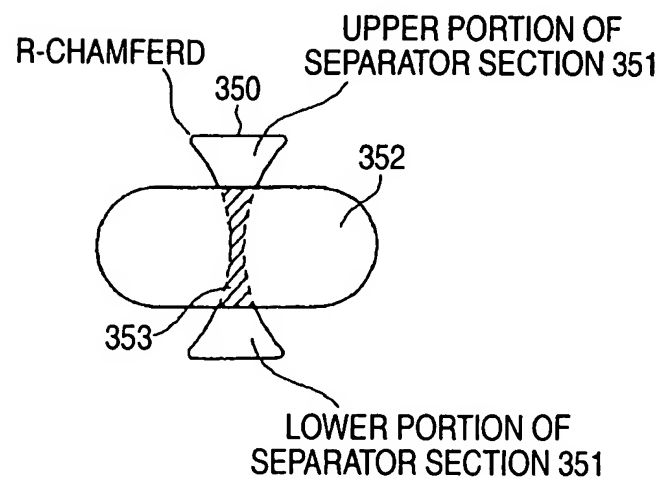


FIG. 24A

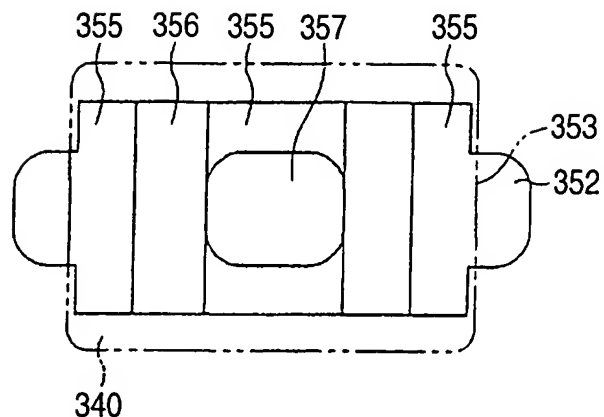


FIG. 24B

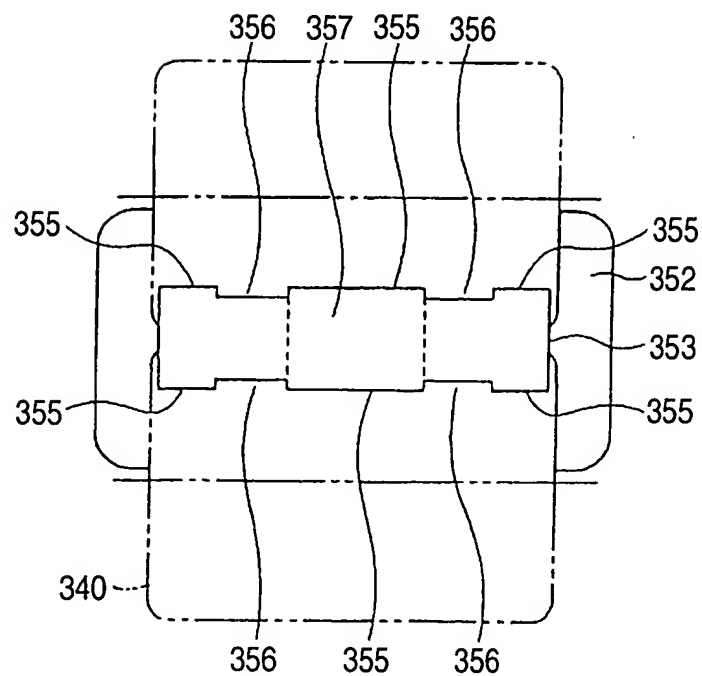


FIG. 25A

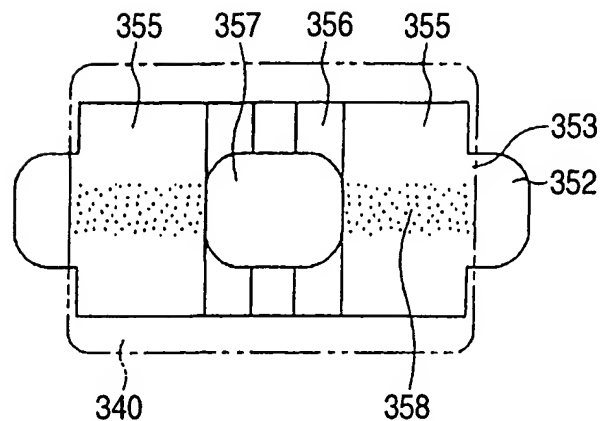


FIG. 25B

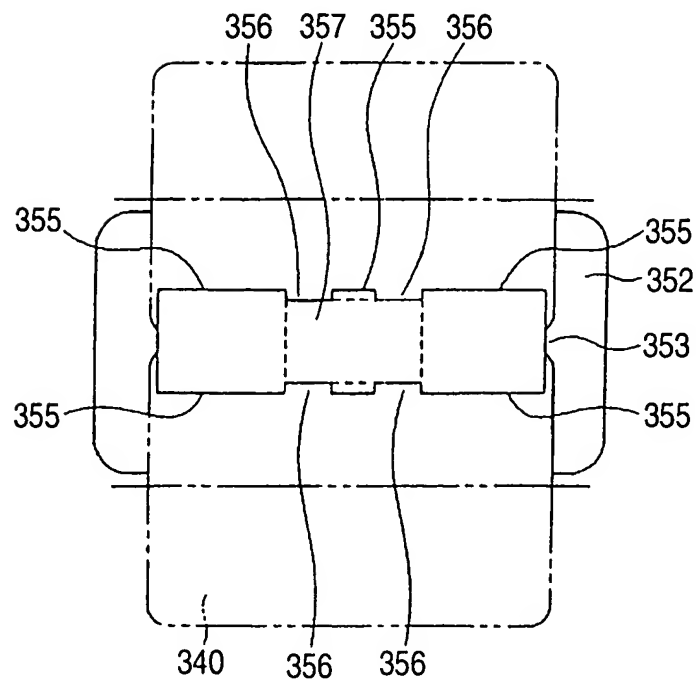


FIG. 26

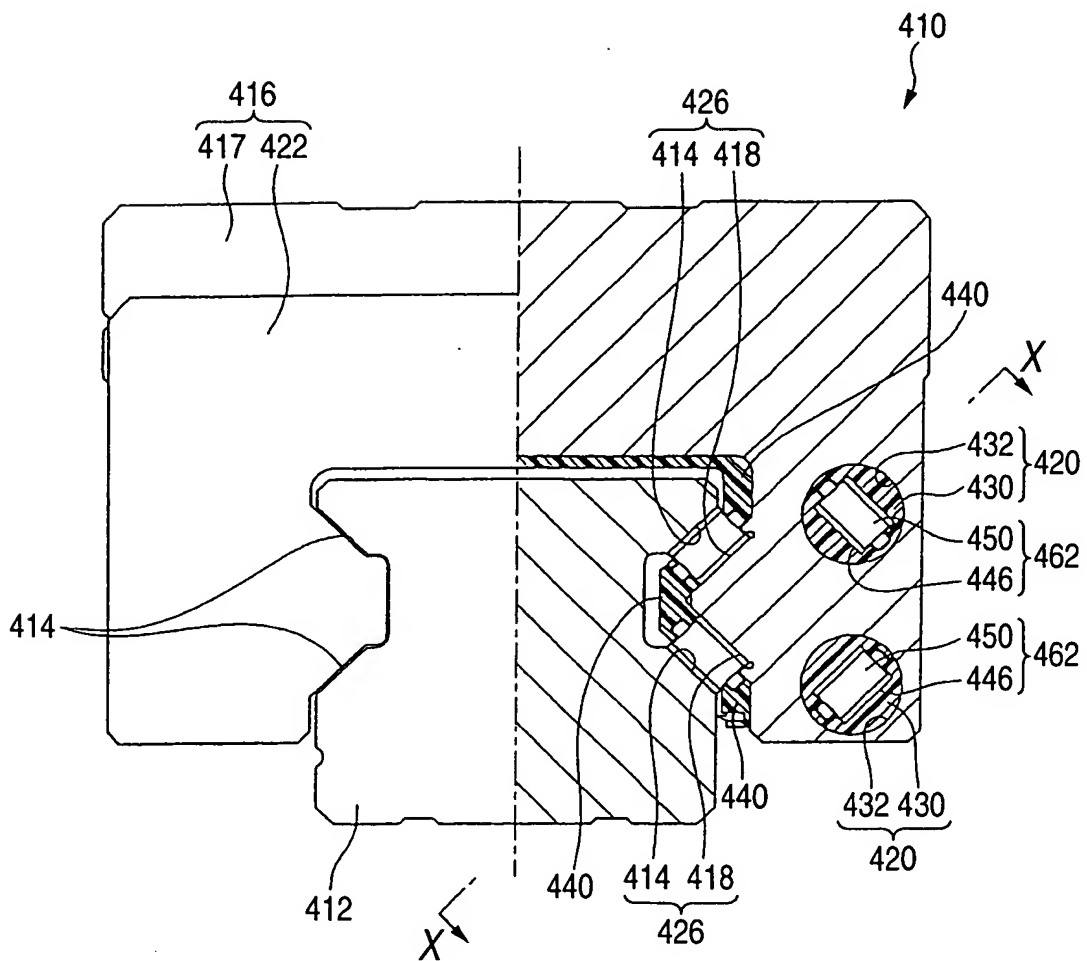


FIG. 27

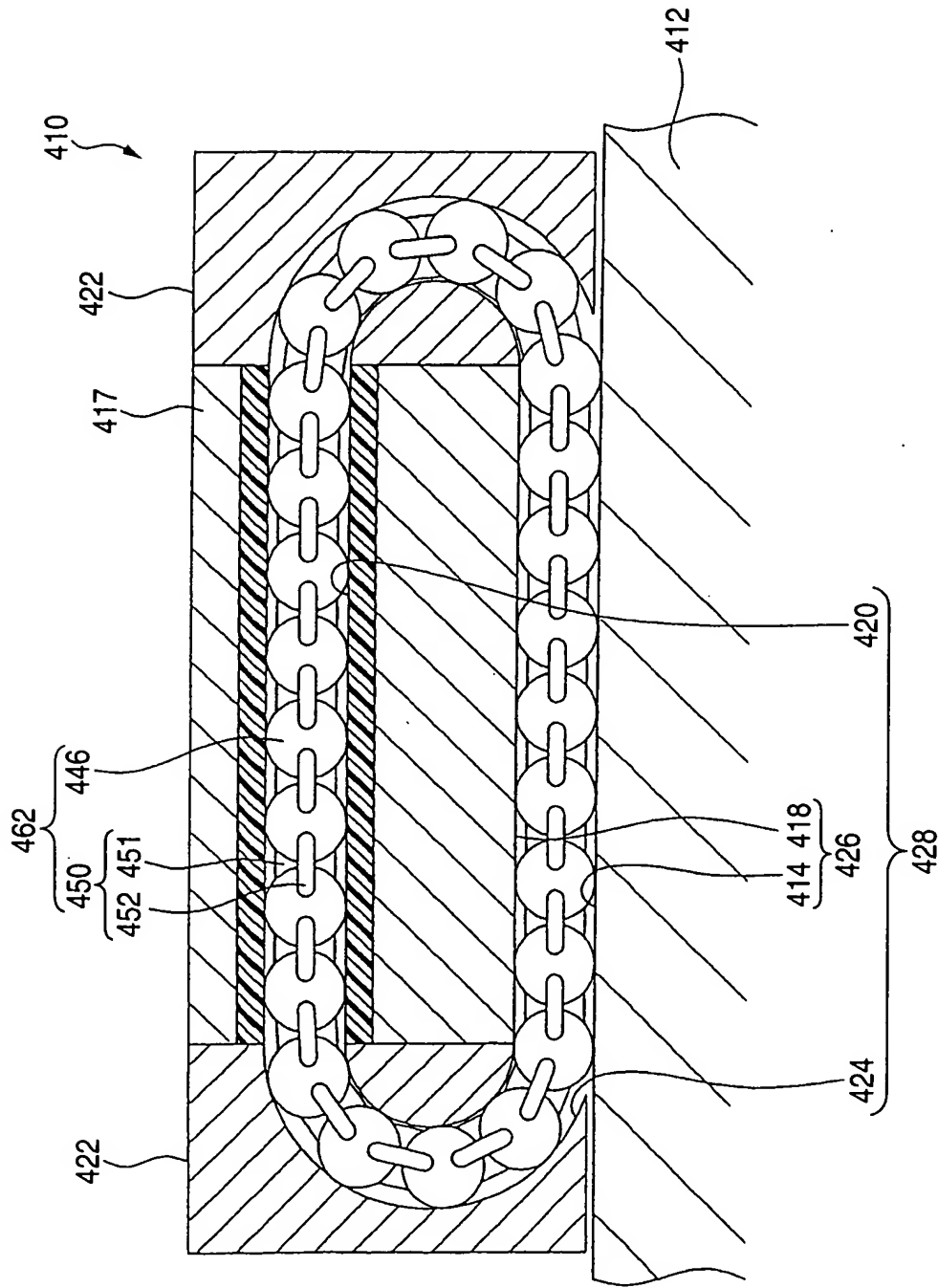


FIG. 28

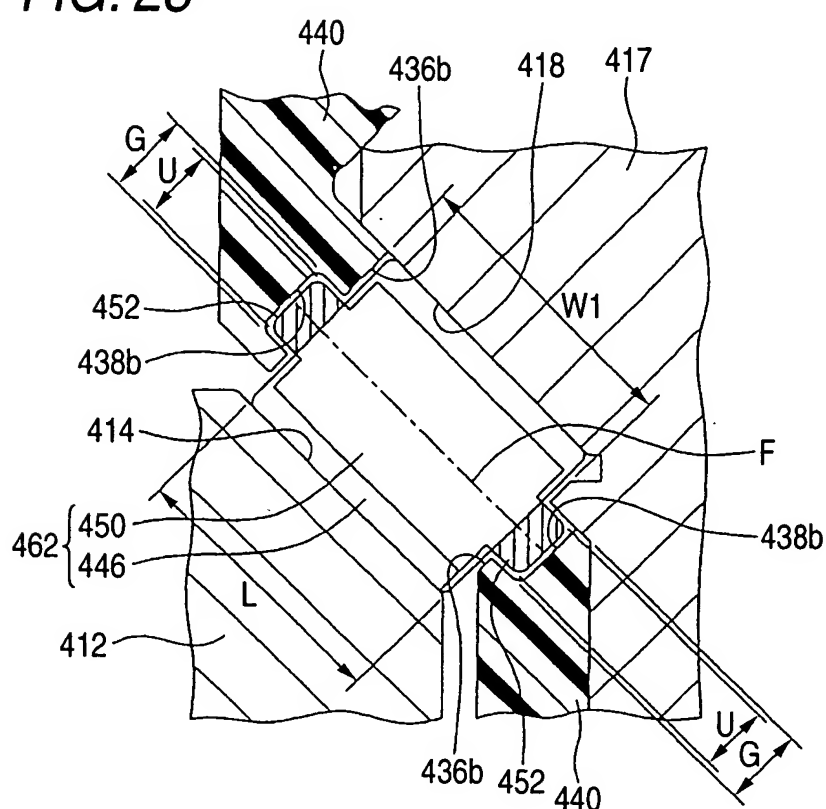


FIG. 29

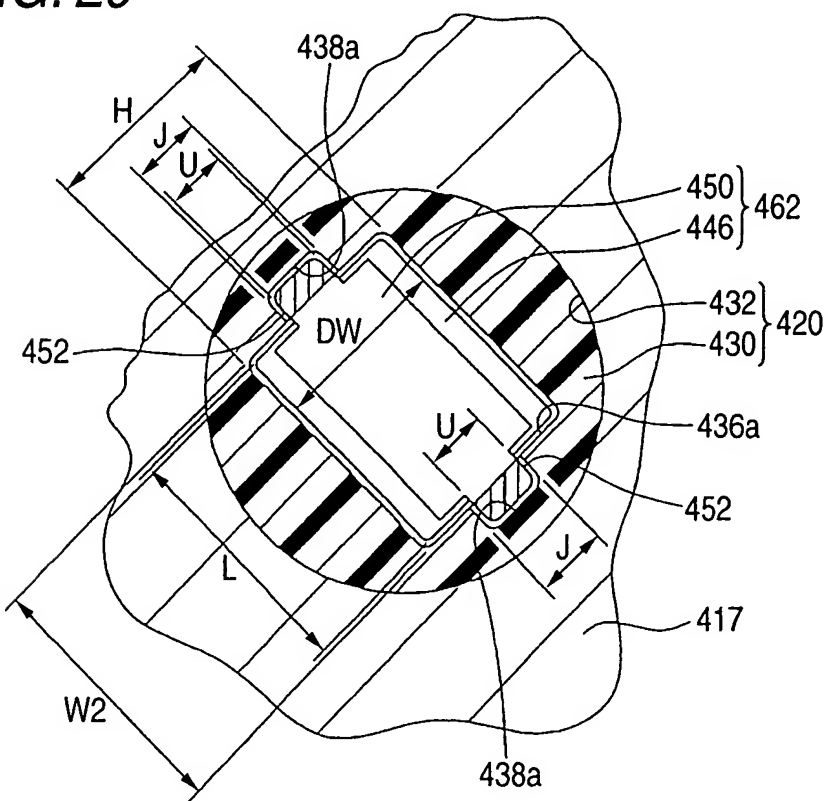


FIG. 30A

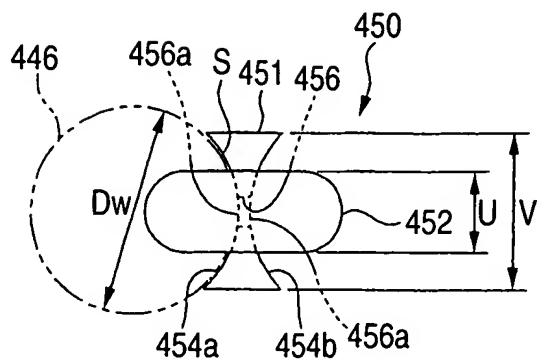


FIG. 30B

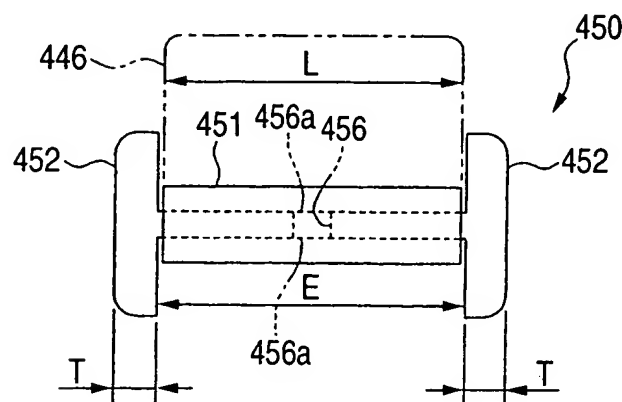


FIG. 30C

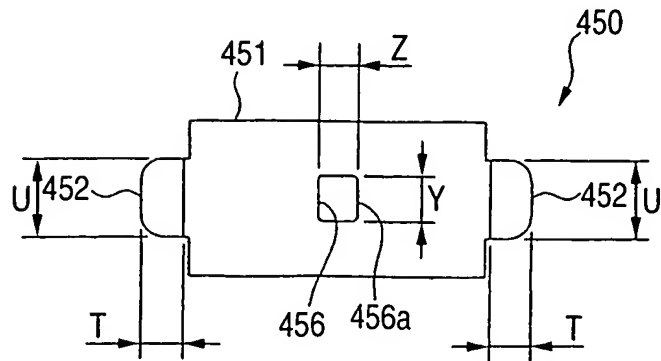


FIG. 31A

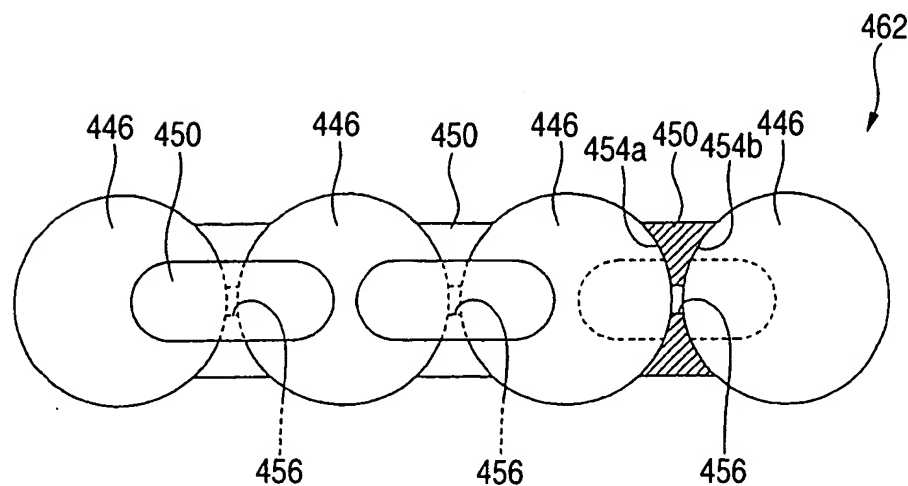
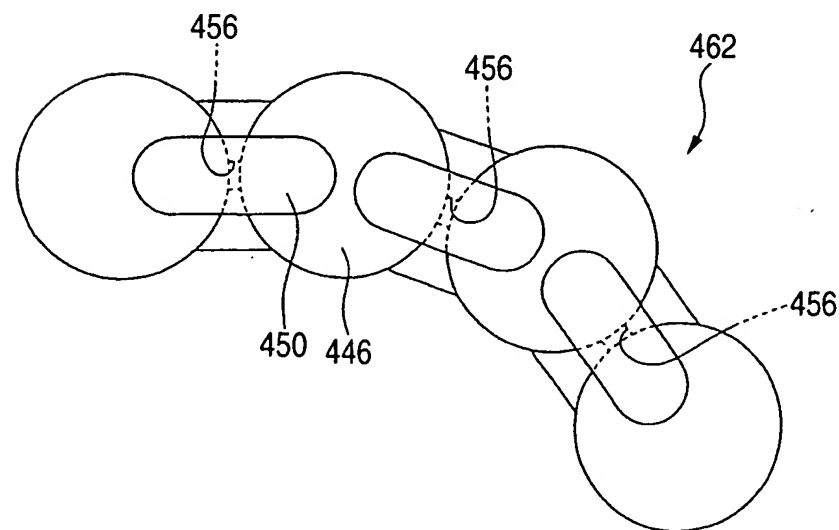


FIG. 31B



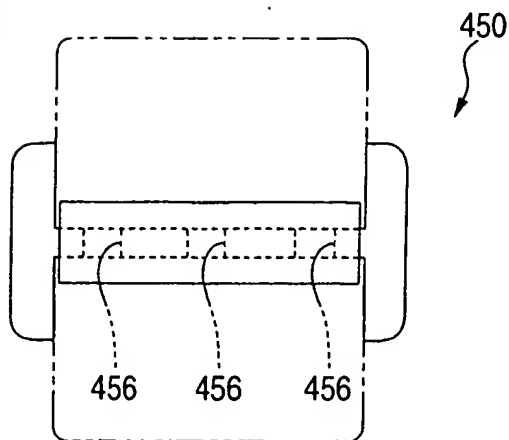
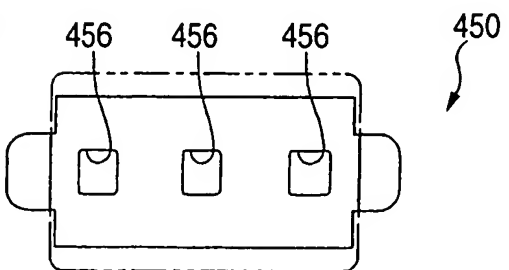
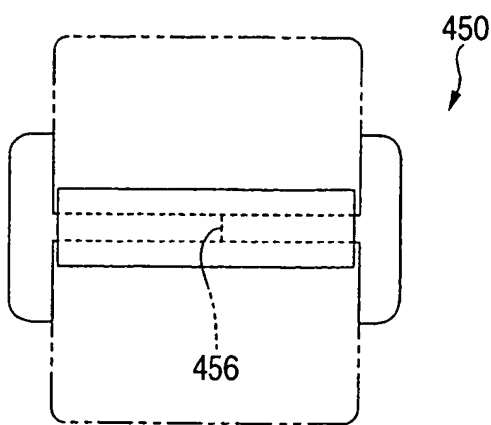
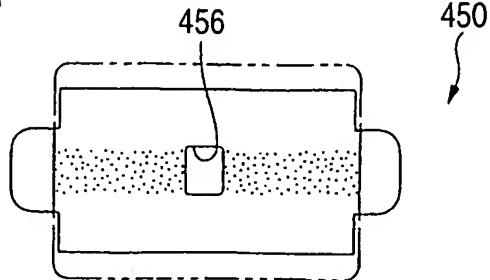
*FIG. 32B**FIG. 32C**FIG. 33B**FIG. 33C*

FIG. 34B

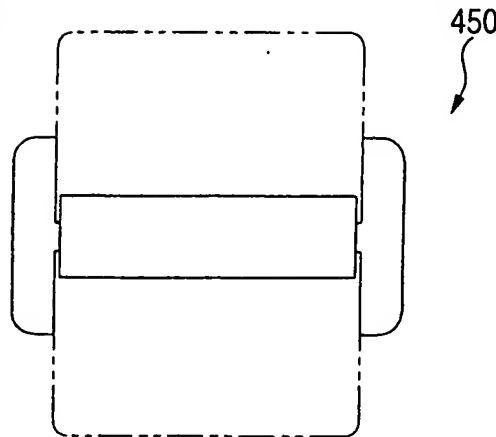


FIG. 34C

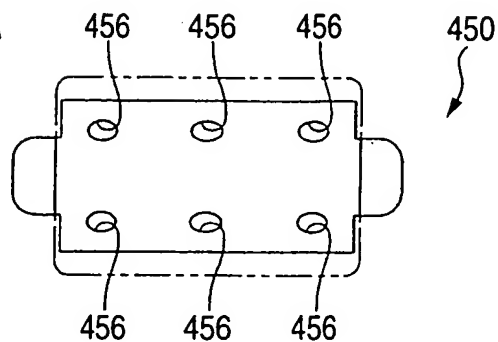


FIG. 35B

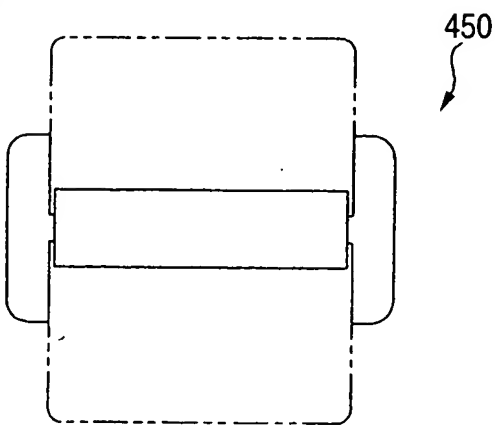


FIG. 35C

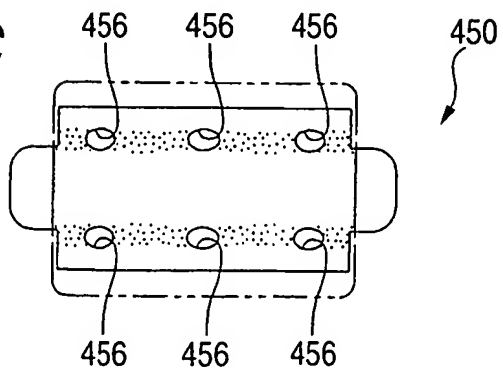


FIG. 36A

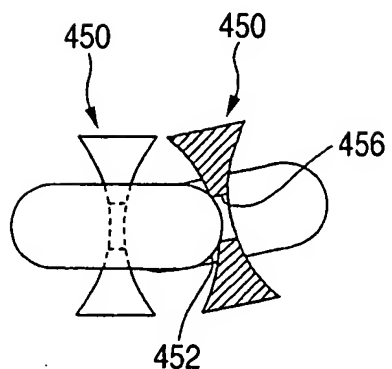


FIG. 36B

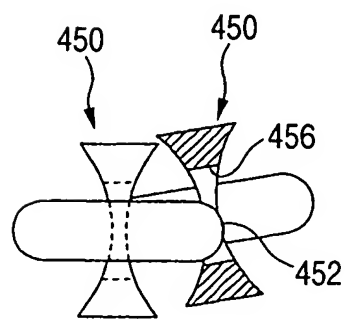


FIG. 37

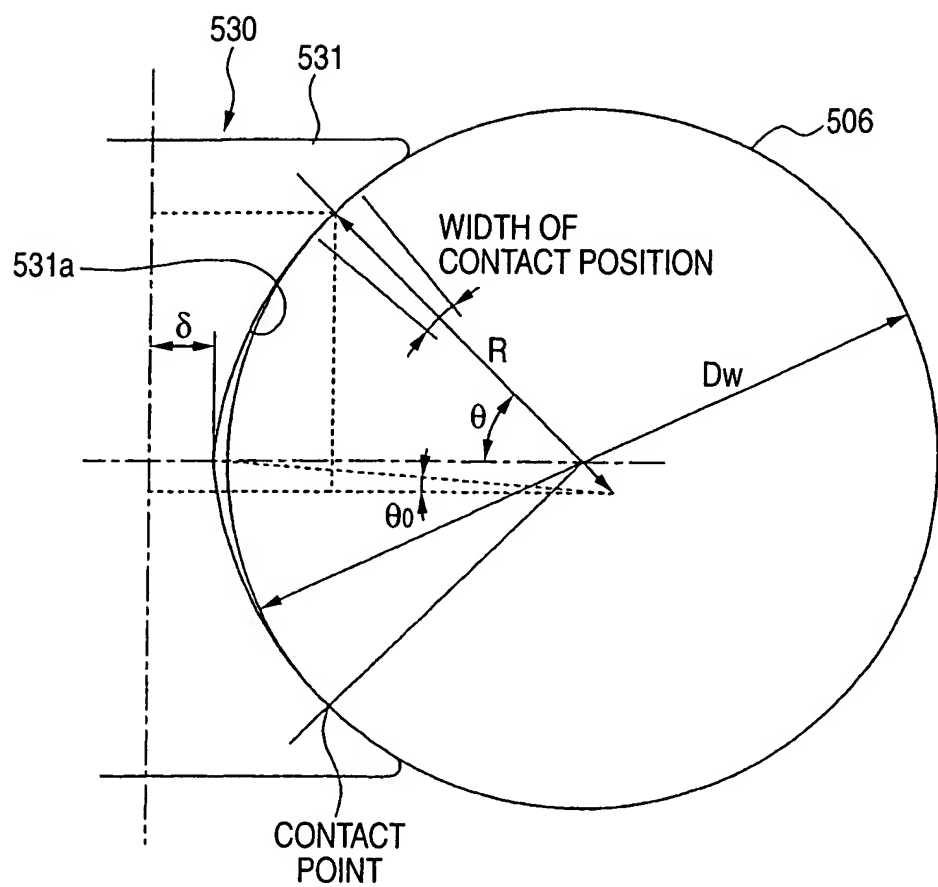


FIG. 38

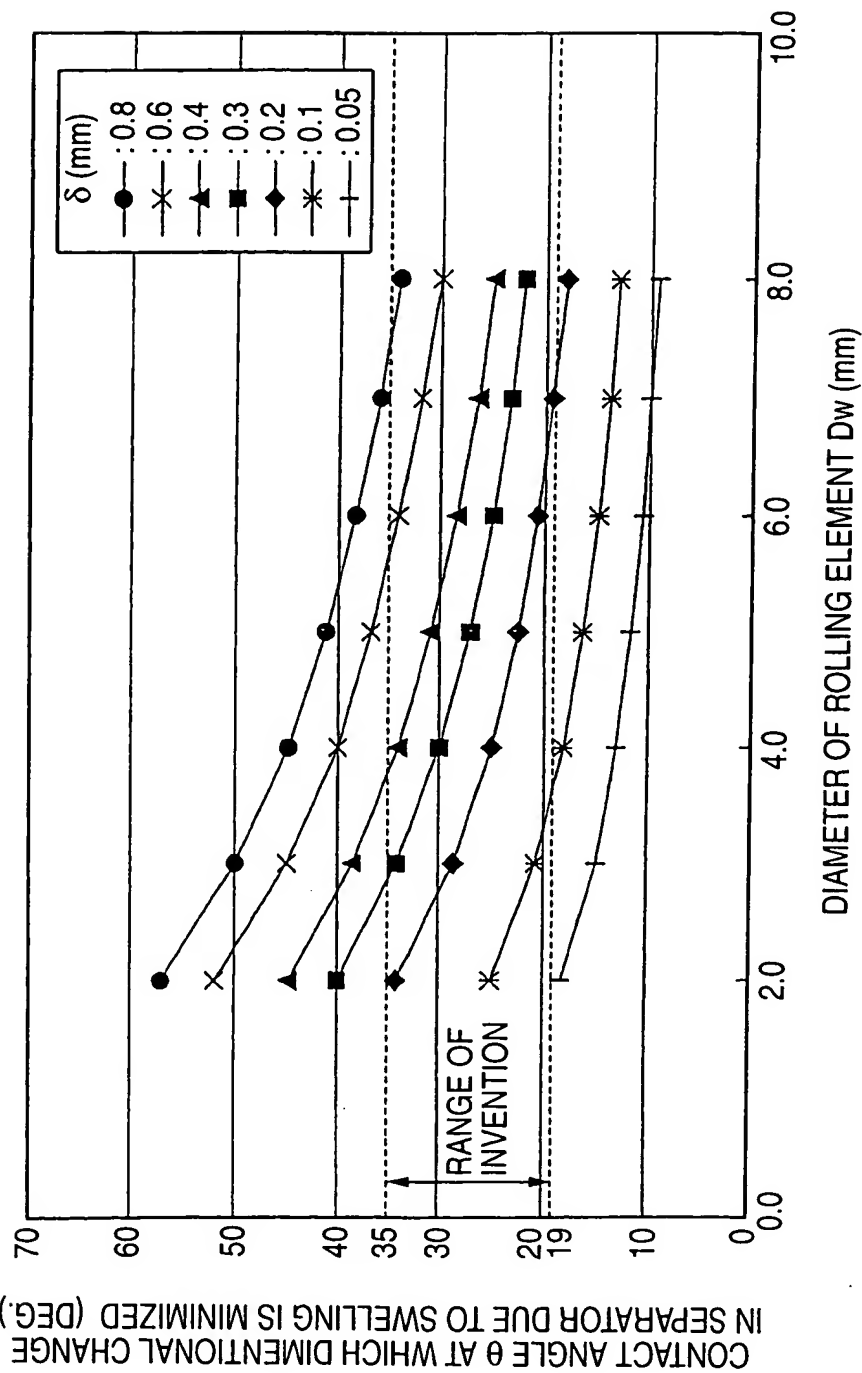
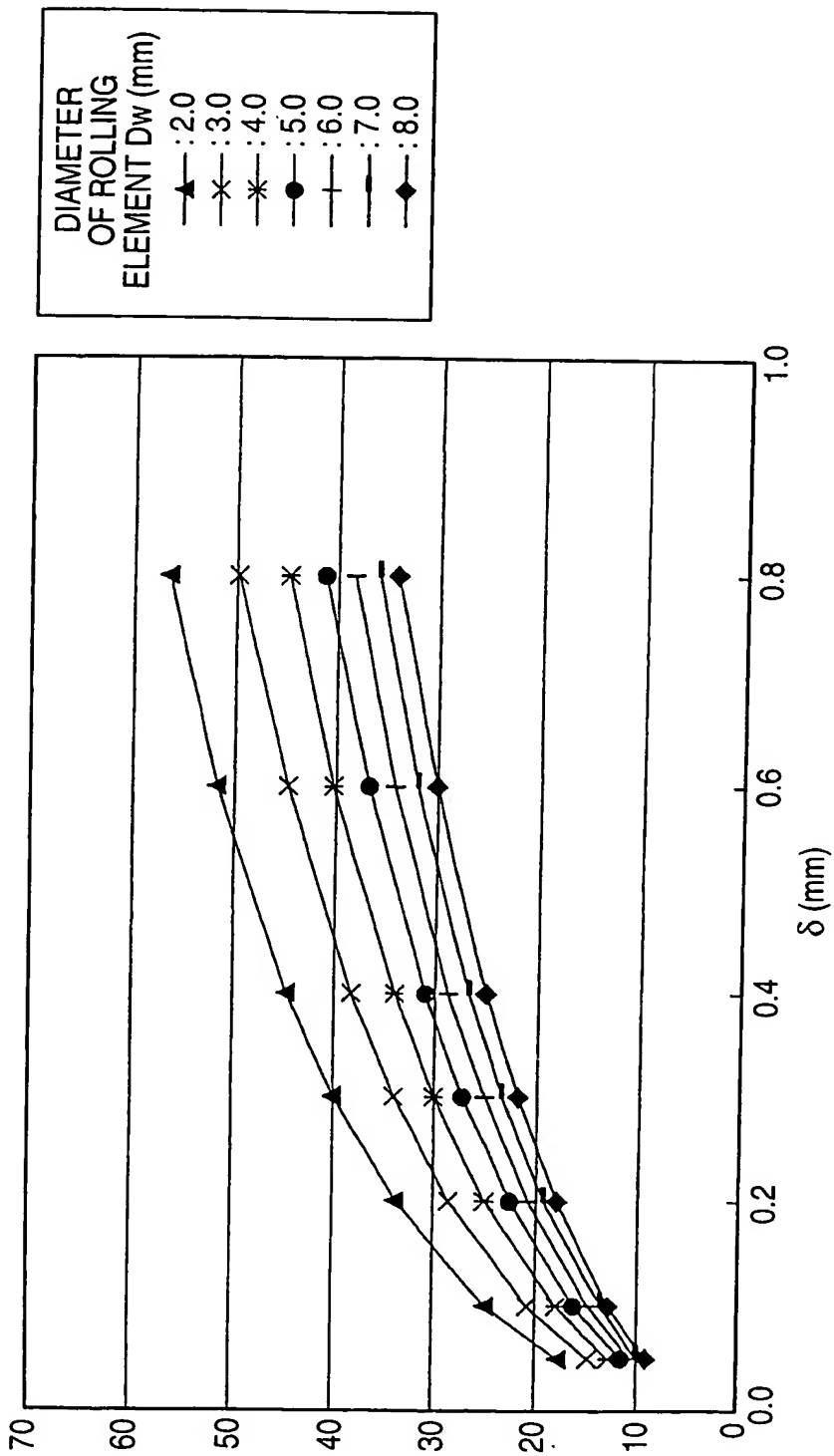


FIG. 39



CONTACT ANGLE  $\theta$  AT WHICH DIMENSIONAL CHANGE  
IN SEPARATOR DUE TO SWELLING IS MINIMIZED (DEG.)

FIG. 40

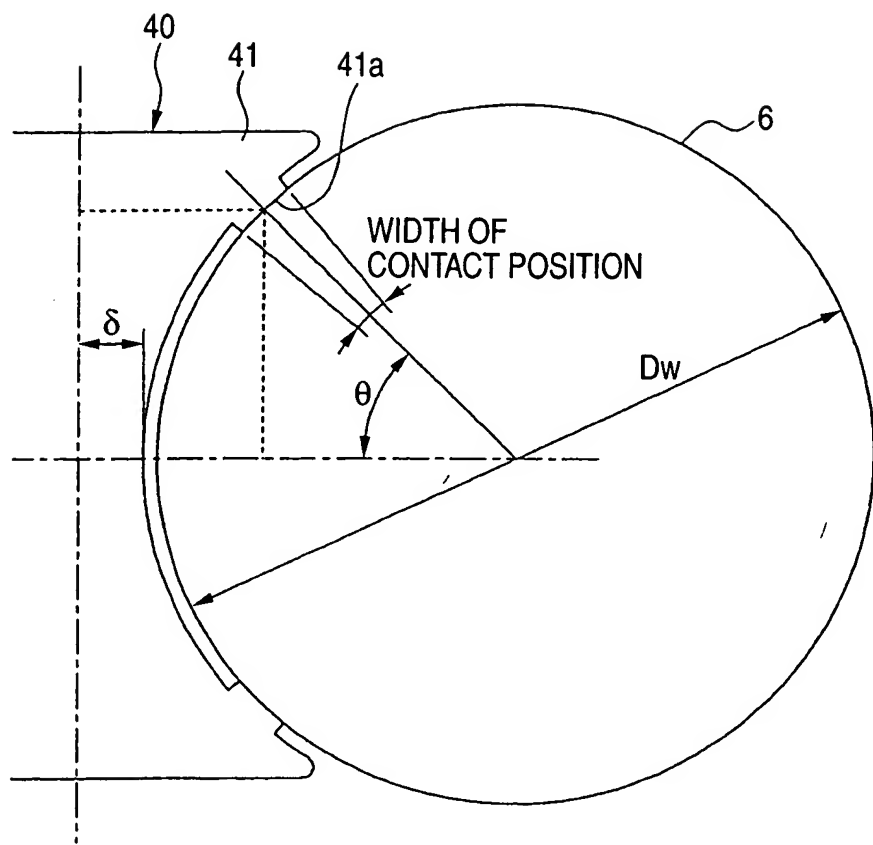


FIG. 41

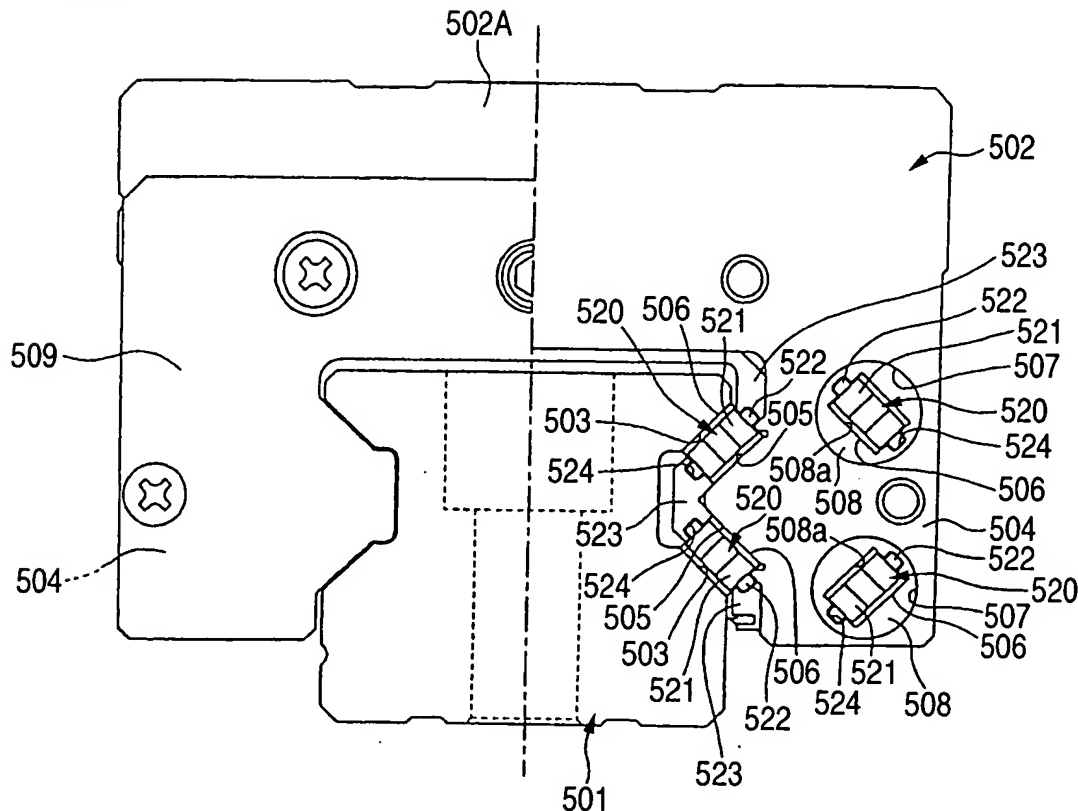


FIG. 42A

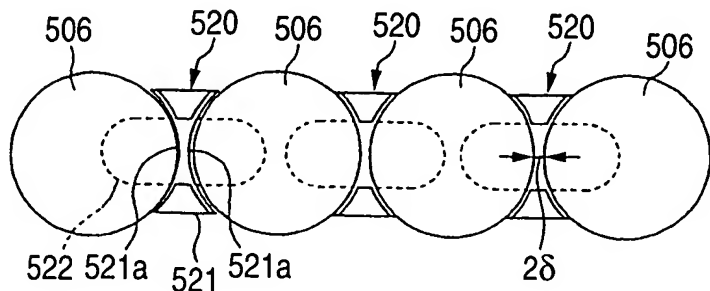


FIG. 42B

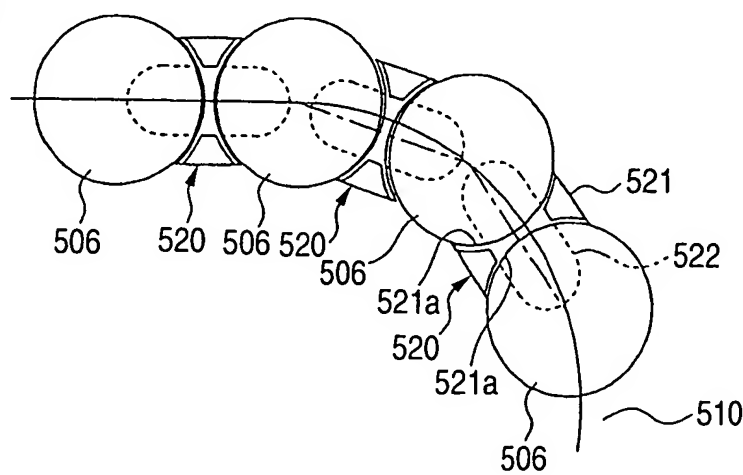


FIG. 43

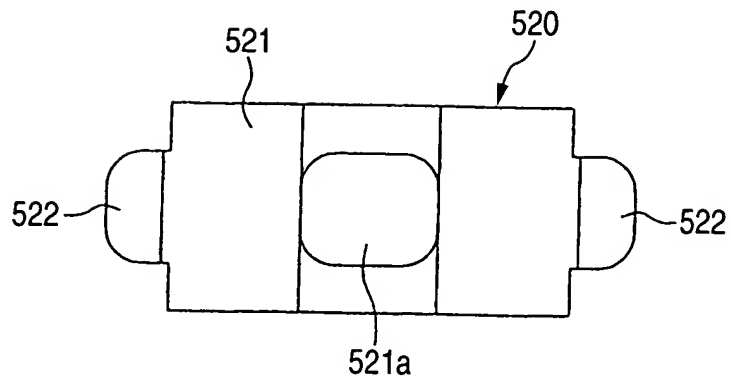


FIG. 44

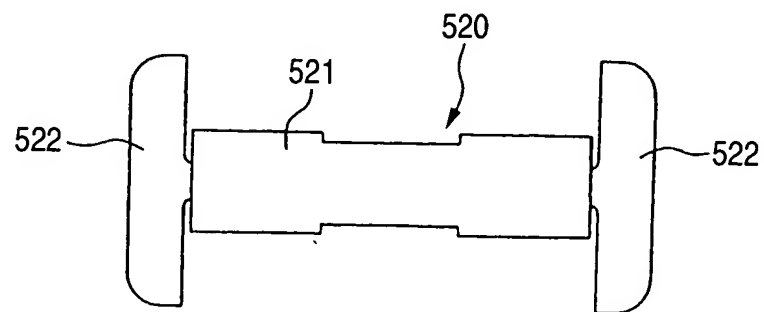


FIG. 45

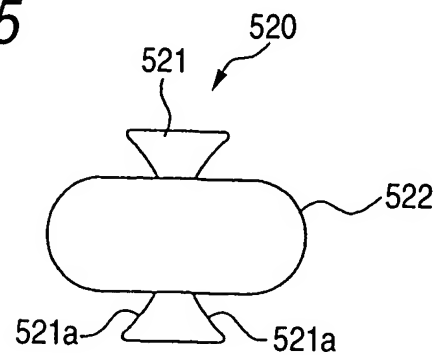


FIG. 46

